

## مطالعه آماری عوامل و پهنه‌بندی خطر وقوع حرکات توده‌ای حوضه زهکشی چnarان

تیمور جعفری<sup>(\*)</sup> ، ابراهیم مقیمی<sup>۲</sup> ، سید کاظم علوی پناه<sup>۱</sup>

۱. استادیار مرکز پژوهشی جغرافیایی، دانشگاه تربیت معلم، سبزوار

۲. دانشیار دانشکده جغرافیا، دانشگاه تهران، تهران

تاریخ دریافت: ۸۶/۸/۱۸

تاریخ پذیرش: ۸۷/۳/۱۳

### چکیده

حوضه آبخیز چnarان در استان خراسان شمالی، در دامنه‌های شمالی رشته کوه آلا Dag و ۱۱ کیلومتری شرق بجنورد واقع شده و از زیرحوضه‌های رودخانه اترک می‌باشد. از مشکلات عمده این حوضه وقوع زمین‌لغزش‌های متعدد و نسبتاً بزرگ می‌باشد که خسارات زیادی به بار آورده است. برای شناسایی حرکات توده‌ای آنچه بیش از همه لازم می‌نماید، شناخت کامل عوامل و فرایندهایی است که روی دامنه‌ها اثر مداوم گذاشته و آنها را ناپایدار می‌سازند. بنا به ضرورت، متغیرهای زمین‌شناسی، هیدرولوژی، توپوگرافی و پوشش-کاربری اراضی مورد بررسی قرار گرفتند. در این تحقیق با استفاده از مدل «روش شاخص زمین‌لغزش»، ابتدا وزن هر یک از متغیرهای مستقل کمی و کیفی موثر در وقوع حرکات توده‌ای حوضه تعیین گردید و با بدست آوردن مدل وقوع حرکات توده‌ای حوضه از روش «Rگرسیون لجستیک»، نقشه نهایی پیش‌بینی احتمال وقوع حرکات توده‌ای حوضه در دو طبقه با خطر زیاد و کم تهیه شد. همچنین با محاسبه تراکم وزنی در هکتار، زیرحوضه‌ها بر حسب آسیب‌پذیری در برابر خطر زمین‌لغزش رتبه‌بندی شدند. نتایج تحقیق نشان می‌دهد که در بین متغیرهای سنگ‌شناسی، سازند شوریجه (Ksh) متشکل از سنگ‌های آواری (گل سنگ و مارن) و سنگ‌های تبخیری با مساعدت متغیرهایی نظیر شبیب، ارتفاع، آبهای زیرزمینی، کاربری اراضی (باغی به دلیل آبیاری عمود بر شبیب توپوگرافی)، افزایش وزن تنه درختان و انتقال نیروی باد به وسیله تنه و ریشه آنها و همچنین زیربری توسط رودخانه چnaran نقش موثرتری در بروز رویکرد حرکات توده‌ای حوضه ایفا نموده است.

واژه‌های کلیدی: پهنه‌بندی خطر، حرکات توده‌ای، حوضه زهکشی چnarان، مدل‌سازی، مطالعه آماری.

### مقدمه

تششی برشی دامنه و وقوع حرکات توده‌ای می‌گرددند (کوک و دورکمپ، ۱۳۷۷).  
یادآوری می‌شود که از نقش فعالیت‌های انسانی مانند راهسازی غیراصولی و تغییر هندسه شبیب دامنه‌ها، تخریب پوشش گیاهی، کاربری نامناسب اراضی، زهکشی نامناسب، بارگذاری بر اثر ایجاد سکونتگاه‌ها و... در وقوع این حرکات نباید چشم‌پوشی کرد. براساس داده‌های موجود، حدود ۳۵ درصد زمین‌لغزش‌های کشور بر اثر دخالت و فعالیت‌های انسانی تحریک و تشیدید پیدا کرده‌اند (بانک اطلاعاتی زمین‌لغزش‌های کشور، ۱۳۸۴).

کشور ایران با توپوگرافی عمده کوهستانی، لرزه خیزی زیاد و شرایط متنوع زمین‌شناسی و اقلیمی، طیف وسیعی از حرکات توده‌ای را دارد و سالانه متحمل خسارات جانی و مالی فراوان می‌شود. در این بین عواملی مانند سنگ‌شناسی، زمین‌ساخت، هوازدگی و فشار آب حفره‌ای، سبب کاهش مقاومت پرشی مواد دامنه می‌شوند. عواملی چون افزایش بار و حذف حایل‌های جانی دامنه بر اثر زیربری رود<sup>۱</sup>، شستشوی مواد دانه‌ای با فرسایش درز آبی، تراکم برف، بارندگی‌های شدید، تراکم واریزه و تنش های انتقالی ناشی از زمین‌لرزه، موجب افزایش

1. Landslide Index Method (LIM)

\*نویسنده مرتبط

2. Logistic regression

3. River undercutting

غرب خلخال به این نتیجه دست یافته‌اند که، حضور رس در سازندگانی حساس منطقه با جذب آب و بر اثر خاصیت تورم و خمیری، یکی از عوامل اصلی حرکات دامنه‌ای است (طلایی دولق و غیومیان، ۱۳۸۰).

مسگری وش و همکاران (۱۳۸۰)، در بررسی عوامل موثر در وقوع زمین‌لغزش محمود آباد مسکون دریافتند که تراکم زمین‌لغزش‌ها در سنگ‌های تکتونیزه و به شدت هوازده با کانی‌های سولفیدی بوده و این عامل بدین لحاظ نقش اساسی در رویکرد زمین‌لغزش ایفا نموده است (مسگری وش و همکاران، ۱۳۸۰).

مهدویفر و جعفری (۱۳۸۰)، ضمن مطالعه آماری عوامل و پهنه‌بندی خطر زمین‌لغزش استان لرستان با استفاده از شاخص درصد سطحی واحدهای درگیر لغزش (SP)، امتیاز هر یک از زیر عوامل و در نهایت وزن هر یک از عوامل کلی را به دست آورده‌اند. در مطالعه ایشان شیل‌های اتوسین بیشترین درصد سطحی (۰.۲۶٪) و امتیاز و در نهایت عامل لیتولوژی بیشترین وزن را به خود اختصاص داده است. (مهدویفر و جعفری، ۱۳۸۰).

سابقه تحقیق در مورد زمین‌لغزش‌های منطقه مورد مطالعه اندک بوده و شامل مطالعات انجام گرفته زیر است:

غفوری و عاشوری (۱۳۷۷)، به بررسی زمین‌لغزش به عنوان یکی از بلایای طبیعی شمال خراسان با دید کلی از بعد عوامل موثر محیطی با روش تحلیلی و نوع و میزان خسارات وارد پرداخته‌اند. آنها در این مطالعه توالی رسوی کپه داغ در دو گروه کلی واحدهای صخره ساز و تشکیل دهنده ارتفاعات و واحدهای سنگی تشکیل دهنده مورفو‌لیتوژی‌های پست را به عنوان عامل موثر معرفی کرده‌اند. از نظر آنها واحدهای صخره ساز با تشکیل ارتفاعات، شبیب توپوگرافی لازم را برای زمین‌لغزه‌ها به وجود آورده‌اند و واحدهای با مورفو‌لیتوژی پست که عمده‌تا از شیل و مارن تشکیل یافته و نفوذ ناپذیرند، علاوه بر تأمین توده‌های خاکی، سطوح لغزشی زمین‌لغزه‌ها را تشکیل می‌دهند (غفوری و عاشوری، ۱۳۷۷).

آدابی و موسوی حرمی، نیز به بررسی نقش لیتو‌لیتوژی در رانش زمین شمال شرق ایران به روش تحلیلی پرداخته‌اند و نتیجه گرفته‌اند که، در شمال شرق ایران سنگ‌های غیرقابل نفوذ در تشکیل مواد رسی هوازده و رانش زمین (که همه ساله خسارات مالی فراوانی را به بار می‌آورند)، نقشی اساسی دارند (آدابی و موسوی حرمی، ۱۳۷۷).

با وجود تحقیقات انجام گرفته، تاکنون مطالعه جامعی از نظر عوامل ایجاد حرکات توده‌ای خطر زمین‌لغزش در چهاران و بررسی مناطق آن از لحاظ مطالعه آماری عوامل، مدل‌سازی، پهنه‌بندی و پیش‌بینی احتمال وقوع آنها انجام نگرفته است.

در تیر ماه ۱۳۷۱ در جنوب شرقی روستای اسفیدان واقع در حوضه زهکشی چهاران، زمین‌لغزش بزرگی رخ داد که بر اساس اظهار نظر کارشناسان دفتر فنی کمیته آبخیزداری جهاد استان خراسان (سابق)، ۳۰۰۰ اصله نهال و چندین هکتار از باغات و زمین‌های مزروعی کشاورزان تخریب و حدود ۱۰۰ میلیون تومان (بر مبنای محاسبه سال ۱۳۷۱) خسارت وارد کرده است (غفوری و عاشوری، ۱۳۷۷).

هدف از انجام این تحقیق شناسایی و برآورد میزان تاثیر مهمترین متغیرهای مستقل اثرگذار در وقوع حرکات توده‌ای خطر، مکانیزم هر یک، مدل سازی و پهنه‌بندی خوبه مورد مطالعه از نظر احتمال وقوع حرکات توده‌ای، شناخت و رتبه‌بندی زیر خطرهای خوبه بر اساس تراکم وزنی در هکتار به منظور کاهش خسارت ناشی از خطر حرکات توده‌ای و ارزیابی مدل رگرسیون لجستیک در پیش‌بینی احتمال وقوع حرکات توده‌ای نسبت به زمین‌لغزش‌های موجود می‌باشد.

**فرضیه تحقیق:** با توجه به بررسی‌های میدانی به عمل آمده، مراجعه به منابع و بررسی اسناد تصویری نظیر نقشه‌های زمین‌شناسی، عکس‌های هوایی و تصاویر ماهواره‌ای، به نظر می‌رسد درین تمام سازندها سازند معروف به شوریجه (Ksh) به دلیل ویژگی‌های ذاتی سنگ شناسی با مساعدت شبیب توپوگرافی، یخبدان و ذوب یخ ناشی از افزایش ارتفاع، نوع کاربری اراضی (باغی)، اثر انحلالی ناشی از آب‌های زیرزمینی و زیربری ناشی از حفر و کاوش رودخانه چهاران، نقش موثری در رویکرد حرکات توده‌ای خطره دارد.

در سطح جهان می‌توان به تحقیقات انجام گرفته زیر در این راستا اشاره نمود:

آنبالاگان<sup>۱</sup>، به شناسایی عوامل موثر در وقوع زمین‌لغزش ناحیه کوهستانی کاتگودام-ناینیتال در کومان هیمالایا و پهنه بندی آن با استفاده از فاکتور ارزیابی خطر زمین‌لغزش (LHEF) پرداخت که پارامترهای لیتو‌لیتوژی، ساختار زمین‌شناسی، شبیب و پوشش-کاربری اراضی با ۲ امتیاز بیشترین نقش را در وقوع لغزش‌های این ناحیه کسب کرده‌اند (Anbalagan, 1992).

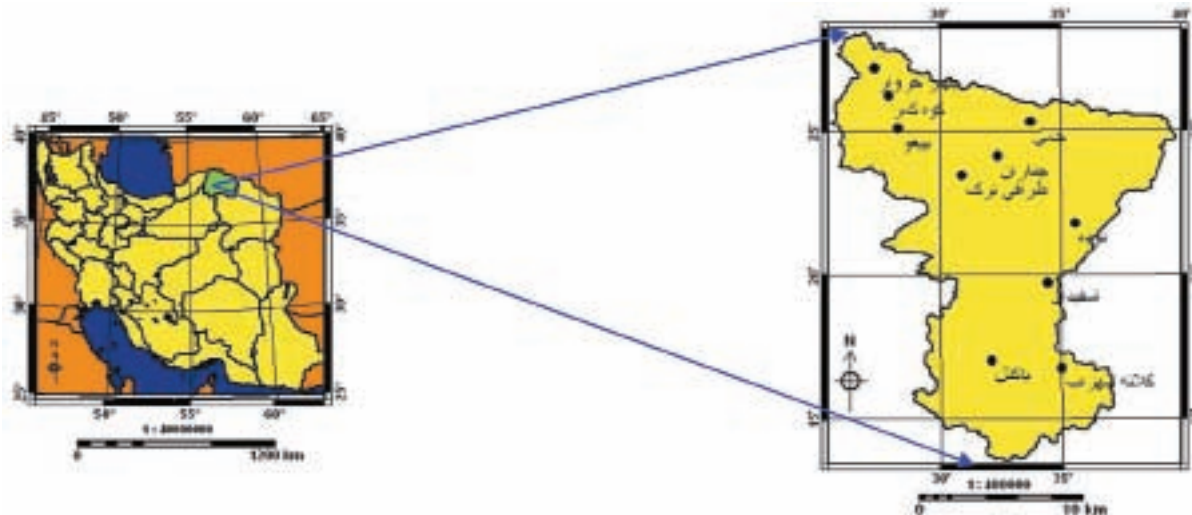
اسپیزوآ و بنگوچه‌آ، خطر زمین‌لغزش در خطرهای کردند. آنها ضمن مطالعات خود به ارتباط نزدیک بین سنگ‌شناسی با مقاومت زیاد، لایه‌بندی ضخیم در بخش فوقانی، جهت شبیب غالب جنوبی و غربی، ذوب برف‌ها، بارش‌های رگباری و وقوع زمین‌لغزش‌ها دست یافته‌اند (Espizua & Bengochea, 2002).

در ایران نیز تحقیقات زیادی در ارتباط با این موضوع انجام پذیرفته است. از آن جمله طلایی دولق و غیومیان (۱۳۸۰) در شناخت و بررسی عوامل موثر در لغزش خیزی روستاهای جنوب

## محدوده مورد مطالعه

درجه و ۲۶ دقیقه تا ۵۷ درجه و ۴۰ دقیقه طول شرقی، در شرق بخش مرکزی شهرستان بجنورد واقع شده است. این حوضه با ۱۰ سکونتگاه روستایی، از نظر تولیدات باغی، یکی از مهمترین مناطق شهرستان بجنورد می باشد (شکل ۱).

حوضه زهکشی چناران از زیرحوضه های رود اترک، در دامنه های شمالی رشته کوه های آلاذغ در استان خراسان شمالی با مساحت حدود ۲۸۱/۸ کیلومترمربع و مختصات جغرافیایی ۳۷ درجه و ۱۴ دقیقه تا ۳۷ درجه و ۲۸ دقیقه عرض شمالی و ۵۷



شکل ۱- موقعیت حوضه زهکشی چناران

## مواد و روش ها

- و باند های مختلف تصاویر سنجنده<sup>+</sup> ETM ما هواره لندست مربوط به ماه مه سال ۲۰۰۳ میلادی، جهت تهیه لایه پوشش - کاربری اراضی و شاخص تراکم پوشش گیاهی (NDVI).

با توجه به بررسی های انجام گرفته و تجزیه و تحلیل دقیق لایه ها نسبت به پهنه هایی که دچار لغزش شده اند، در مجموع هشت لایه رستری با ماهیت طبقه ای به منظور استفاده در تحلیل، مدل سازی و پهنه بندی در محیط نرم افزار ILWIS تهیه شد.

روش های اولیه بررسی متغیرهای موثر در وقوع زمین لغزش ها و مدل سازی و پهنه بندی آنها عمده تر بر قضاوت کارشناسی و وزن دهی های نامشخص استوار بوده است (Varnes, 1984). ویژگی دیگر این روش ها، به کارگیری تعداد کمی از متغیرهای موثر در مدل سازی و پهنه بندی و استفاده نکردن از رایانه و اطلاعات حاصل از پردازش تصاویر ما هواره بی ایست. غیر از روش های سنتی، مدل های آماری لگ - خطی<sup>۳</sup>، رگرسیون چند متغیره، پروبیت، تحلیل تشخیص<sup>۴</sup> و روش تحلیل مولفه های اصلی نیز در مدل سازی و پهنه بندی حرکات توده ای بکار گرفته می شوند. با اینکه این مدل ها قادر به شناسایی متغیرهای موثر در

به منظور شناسایی زمین لغزش ها ابتدا با تهیه نقشه های توپوگرافی، زمین شناسی، عکس های هوایی و تصاویر ما هواره ای رنگی کاذب<sup>۱</sup> حوضه، به بررسی های میدانی پرداخته شد. در ضمن جهت برداشت محدوده زمین لغزش ها از دستگاه سیستم موقعیت یاب جهانی<sup>۲</sup> (GPS) استفاده گردید و برای هر کدام از پهنه های لغزش یافته، فرم مشخصات زمین لغزش تهیه شد.

پس از وارد کردن نقشه های پایه، عکس های هوایی و جدول مختصات جغرافیایی لغزش های حوضه به محیط سیستم اطلاعات جغرافیایی، لایه پراکنش زمین لغزش های حوضه (شکل ۲) که جامعه آماری این مطالعه در قالب متغیرهای وابسته می باشد، تهیه و به منظور شناسایی درجات مختلف خطر زمین لغزش، اطلاعات مربوط به عوامل احتمالی ایجاد لغزش به شرح زیر از منابع مختلف تهیه شد:

- نقشه های توپوگرافی با مقیاس ۱:۵۰۰۰۰؛ ۱ برگه های بجنورد، اسفراین و سی ساب، جهت تهیه لایه های شب، طبقات ارتفاعی و فاصله از رودخانه و آب های زیرزمینی،

- نقشه های زمین شناسی با مقیاس ۱:۱۰۰۰۰؛ ۱ برگه های بجنورد و شیروان، جهت تهیه لایه های سنگ شناسی، رسوب و فاصله از گسل،

1. False Color Composite(FCC)
2. Global Positioning System(GPS)
3. Log-linear
4. Discriminant analysis

برای هر متغیر، مقداری کمتر از ۳/۸۴ (که معادل سطح معناداری ۹۵ درصد است) داشته باشد، معناداری و تاثیر متغیر در سطح ۹۵ درصد رد می شود و متغیر مذکور باید از معادله خارج شود. در رابطه با ضریب زاویه متغیرها (B)، مقدار قدر مطلق این ضرایب نشان دهنده اولویت تاثیر متغیرهای مستقل بر متغیر وابسته است و ضریب بزرگتر تاثیر بیشتر متغیر را نشان می دهد. علامت منفی تاثیر و جهت منفی و علامت مثبت نیز تاثیرات و جهت مثبت را نشان می دهد.

مدل LIM مبتنی بر رابطه زیر می باشد:  
(رابطه یک)

$$L_{nw_i} = \ln \left[ \frac{Densclas}{Densmap} \right] = \ln \left[ \frac{\frac{NPix(Si)}{NPix(Ni)}}{\sum NPix(Si)} \right]$$

که در آن:

$w_i$  = وزن هر یک از طبقات لایه عاملی،  
Densclas = تراکم لغزش در هر طبقه از لایه عاملی،  
Densmap = تراکم لغزش در کل حوضه،  
 $Npix(Si)$  = فراوانی لغزش در هر یک از طبقات لایه عاملی و  
فراوانی کل لغزش در حوضه،  
 $Npix(Ni)$  = فراوانی کل طبقه از لایه عاملی و فراوانی کل حوضه بر حسب پیکسل است.

در این روش ابتدا با بدست آوردن فراوانی پیکسل های لغزش یافته در هر طبقه از لایه عاملی و فراوانی کل هر طبقه، تراکم لغزش در هر طبقه محاسبه و سپس با استفاده از فراوانی پیکسل های لغزش یافته در کل حوضه و فراوانی کل حوضه، تراکم لغزش در حوضه<sup>۱</sup> حاصل شد. در نهایت لگاریتم طبیعی نسبت بین تراکم لغزش در هر طبقه و تراکم لغزش در کل حوضه گرفته شد و وزن نهایی طبقات هر یک از لایه های عاملی در ستون جداول<sup>۲</sup> معمولاً دامنه ای بین اعداد آمد (جداول ۱تا). در این مدل مقادیر وزنی، معمولاً دامنه ای بین اعداد مثبت و منفی دارند که به ترتیب بیانگر نقش بیشتر و کمتر متغیرهای مورد بررسی هستند (Van Westen, 1995). ستون وزن نهایی طبقات در جدول حاصل از انقطاع نقشه پراکنش زمین لغزشها و نقشه های عاملی به جدول اطلاعات توصیفی<sup>۳</sup> لایه های عاملی وصل و با استفاده از اطلاعات این ستون، نقشه وزنی برای هشت لایه عاملی تهیه شد. از جمع جبری هشت لایه عاملی وزنی، نقشه وزنی نهایی بدست آمد. در نهایت از انقطاع نقشه رستری زیر حوضه های حوضه با نقشه وزنی نهایی پتانسیل خطر زمین لغزش و برآورد تراکم وزنی در هکتار، تابه زیر حوضه ها نسبت به خطر پذیری در برابر لغزش محاسبه شد (جدول ۹).

حرکات توده ای از طریق آماره آزمون و درجه معناداری هستند، ولی نخست آنکه از دقت بالایی برخوردار نبوده، دوم آنکه در گستره وسیعی از آزمون های مربوط به احتمال عضویت و عدم عضویت در گروه خاص کاربرد نداشته، سوم آنکه برخی از این مدل ها قادر به استفاده از داده های کیفی در مدل سازی نیستند (نیکلا بریس و همکاران، ۱۳۸۴).

روش های بکار رفته برای مطالعه آماری عوامل و پهنه بندی خطر و قوع حرکات توده ای حوضه زهکشی چنان، به ترتیب مبتنی بر مدل وزن دهی LIM و مدل رگرسیون لجستیک می باشند. در این مدل ها تعداد زیادی از متغیرهای کمی و کیفی بر حسب تشخیص و مقادیر وزنی خود می توانند لحاظ شوند.

مدل LIM نخستین بار در موسسه ITC کشور هلند به منظور وزن دهی به پارامترهای ناشی از خصوصیات طبیعی و فعالیت های انسانی و پهنه بندی خطر و قوع زمین لغزش ناحیه چین چینا در کلمبیا مورد استفاده قرار گرفته است. این مدل بر اساس لگاریتم طبیعی (Ln) نسبت تراکم لغزش در هر یک از واحد های لایه های عاملی، به تراکم لغزش در کل حوضه می باشد که نتیجه این نسبت، دستیابی به مدل سازی می باشد (Van Westen, 1995). با این روش می توان متغیرهای کیفی را کمی و در مدل سازی و پهنه بندی پیش بینی احتمال و قوع حرکات توده ای حوضه بر اساس مدل آماری رگرسیون لجستیک مورد استفاده قرار داد. مزیت دیگر این مدل این است که با «تغییر متغیر» یعنی گرفتن لگاریتم طبیعی (Ln)، وزن متغیرهای دارای وزن بسیار کم افزایش یافته و در محاسبات وارد می شوند. در این مدل مقادیر وزنی معمولاً دارای دامنه ای بین اعداد مثبت و منفی بوده که به ترتیب بیانگر نقش بیشتر و کمتر متغیرهای مورد بررسی هستند.

مدل رگرسیون لجستیک توسط تاباچینگ و فیدل (۲۰۰۱) در شناخت مجرمینی که احتمال به زندان آمدن دویاره آنها وجود دارد (نیکلا بریس و همکاران، ۱۳۸۴) و نیز توسط کرم (Krem, ۱۳۸۰) در مدل سازی و پیش بینی احتمال و قوع زمین لغزش های حوضه سرخون در استان چهارمحال و بختیاری استفاده شده است (کرم، ۱۳۸۰). در روند آماری رگرسیون لجستیک برای تحلیل به طور غالباً از روش استاندارد یا «ورود»، استفاده می شود. در این روش تعداد پیکسل های متغیر مستقل طبقه ای که دچار حرکت شده اند، یکجا وارد مدل می شوند. در این بین اگر معناداری هر واحد از ۰/۰۵ کمتر شد، بیانگر این است که در رویکرد حرکات توده ای اثر گذار بوده و در مدل باقی می ماند و اگر از ۰/۰۵ بیشتر شد، از مدل حذف می شود. علاوه بر معنا داری، در این مدل، معیار حذف طبقات در هر یک از متغیرهای مستقل بر اساس احتمال آماره والد است. آماره والد دارای توزیعی به اندازه محدود توزیع نرمال است و به لحاظ فرمولی از توزیع کای اسکوئر<sup>۴</sup> با درجه آزادی  $n-1$  پیروی می کند. چنانچه این آماره

- 
1. Densclas
  2. Densmap
  3. Attribute table

$xp$  وزن هر یک از واحدهای متغیرهای مستقل،  $P$  احتمال عضویت یا عدم عضویت در گروه حرکات توده‌ای است که عددی بین یک و صفر است. اگر مقدار یک پیکسل از  $0/5$  کمتر شد، آن پیکسل متعلق به طبقه دارای حرکت توده‌ای و اگر از  $0/5$  بیشتر شد، متعلق به طبقه فاقد حرکت توده‌ای است. در رابطه اخیر،  $e$ ، پایه لگاریتم طبیعی یا عدد نپرین است که برابر با  $2/7$  می‌باشد.

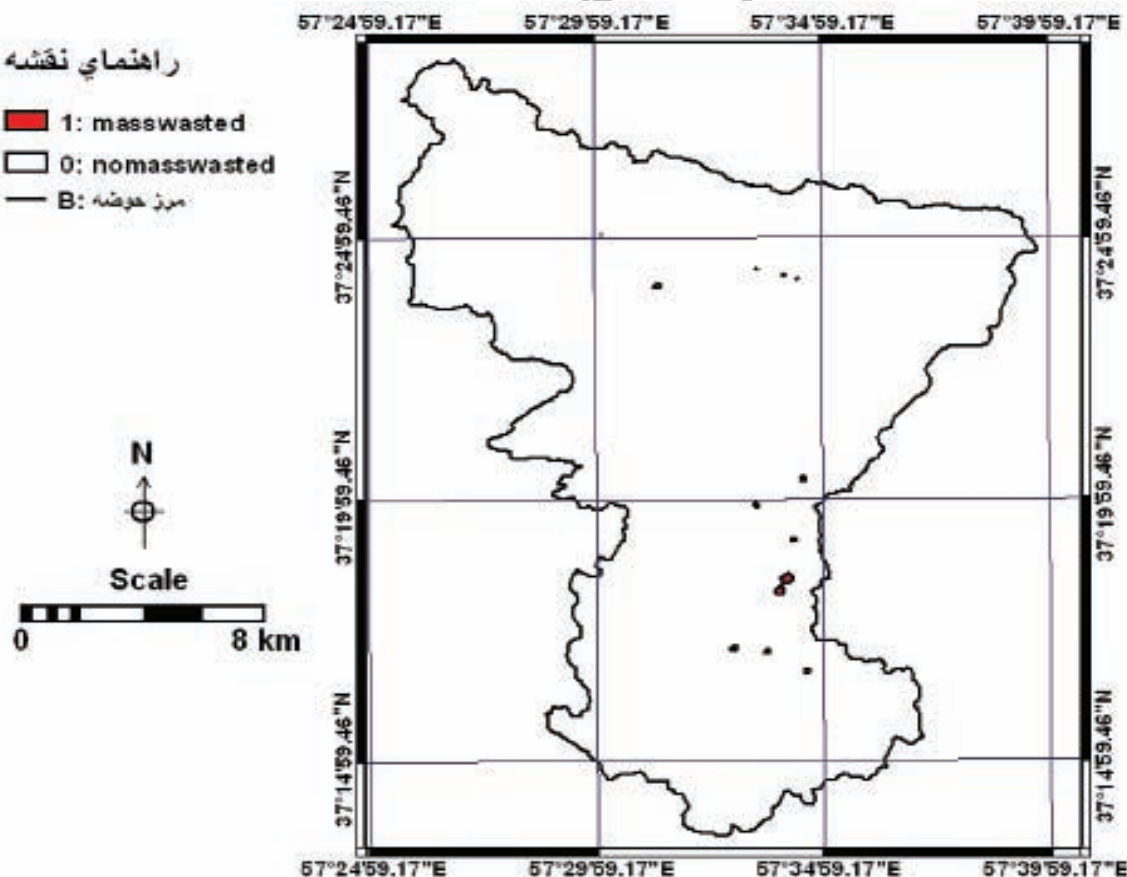
پس از تهیه نقشه پیش‌بینی احتمال وقوع حرکات توده‌ای حوضه این نقشه، با استفاده از روش طبقه‌بندی تراکم<sup>۱</sup> و با توجه به رقم معیار<sup>۲</sup> عضویت و عدم عضویت که در نرم‌افزار SPSS همان  $0/5$  است، به دو پنهان با سطح شدت خطر زیاد (صفرا  $0/5$  و کم  $0/5$  تا یک)، طبقه‌بندی شد (شکل ۶). در نهایت به منظور آزمون مدل، با استفاده از روش ارزیابی ماتریس خطأ، مقدار خطای پیش‌بینی امیشن<sup>۳</sup> و مقدار خطای پیش‌بینی کمیشن<sup>۴</sup> برای حالت‌های یک (وقوع) و صفر (عدم وقوع)، محاسبه شد.

پس از اینکه وزن طبقات لایه‌های عاملی با استفاده از مدل LIM در نرم افزار ILWIS حاصل و با کمک مدل رگرسیون لجستیک معادله نهایی برآورد خطر نسبی وقوع حرکات توده‌ای حوضه (معادله برآورده عدد  $Z$  یا لاجیت<sup>۵</sup>) در نرم افزار آماری SPSS محاسبه شد (جدول ۱)، مقادیر این معادله شامل ضریب زاویه متغیرها (B) و وزن متغیرهای مستقل طبقه‌ای موثر در جداول اطلاعات توصیفی مربوط به هر لایه عاملی وارد، حاصل ضرب آنها محاسبه و از روی ستون مربوط به حاصل ضرب، نقشه توصیفی تهیه شد. این معادله (رابطه دو) در نرم افزار ILWIS وارد و نقشه دارای عدد  $Z$  یا لاجیت به منظور بکارگیری در رابطه احتمال، برای کل حوضه تهیه شد و در نهایت از رابطه احتمال (رابطه سه) به منظور تهیه نقشه پیش‌بینی احتمال وقوع حرکات توده‌ای حوضه، استفاده گردید.

$$Z = b_0 + b_1(x_1) + b_2(x_2) + b_3(x_3) + \dots bp(xp)$$

$$(رابطه سه) P = e^z / (1 + e^z)$$

در این روابط  $Z$  همان لاجیت است که یک عدد است،  $b_0$  ثابت معادله (ضریب عرض از مبدأ)،  $bp$  ضریب زاویه متغیرها،



شکل ۲- نقشه پراکنش زمین لغزش های حوضه زهکشی چهاران

1. Logit
2. Density slicing
3. Cut value
4. Omission error
5. Commission error

## تجزیه و تحلیل متغیرهای مؤثر

سیلیسی آواری و مقادیر ناچیزی ژیپس تشکیل شده‌اند (سازمان زمین‌شناسی کشور، نقشه‌های زمین‌شناسی با مقیاس ۱:۲۵۰۰۰۰ ورقه‌های بجنورد و کورخورد). رسوبات پالئوژن شامل سازندهای پسته لیق، چهل کمان و خانگیران متتشکل از رسوبات سیلیسی آواری و کربناته هستند. رسوبات سیلیسی آواری قرمز رنگ نئوژن بطوط دگرشیب بر روی رسوبات فوق الذکر قرار گرفته‌اند (افشار حرب، ۱۳۷۳).

رسوبات این حوضه در اوخر میوسن بر اثر آخرین فازهای کوهزایی آپی چین خورده، تاقدیس‌ها و ناویدیس‌های متعدد نامتقارن و گسل‌های با روند کلی شمال غربی – جنوب شرقی تشکیل داده‌اند که چهار گسل نسبتاً فعال از غرب کپه داغ گزارش شده است. فرسایش دره‌های حاصل از گسل خورده‌گی باعث ایجاد دره‌های عمیق ۷ شکل شده است (افشار حرب، ۱۹۷۹، به نقل از آدابی و موسوی حرمسی، ۱۳۷۷).

اطلاعات حاصل از نقشه‌های زمین‌شناسی ۱:۱۰۰۰۰۰ ورقه‌های بجنورد و شیروان و بررسی‌های میدانی نگارنده حاکی از آن است که حدود ۹۵ درصد مناطق تحت لغزش حوضه بر روی سازنده شوریجه شامل ماسه سنگ قلوه سنگ دار<sup>۱</sup> متمایل به صورتی، مارن، کنگلومرا و شیل‌های سیلیسی و رسی ژیپس دار قرار دارد. لذا وضعیت پی سنگ در این ناحیه نقش اساسی و زیرینایی در لغزش ایفا نموده است (جدول ۱).

زمین لغزش از مهمترین فرایندهای شکل زایی حوضه بوده و مانند سایر حوضه‌های خراسان شمالی، حالت تنگنای محیطی به خود گرفته است (زمردیان، ۱۳۷۳، به نقل از علایی طالقانی، ۱۳۸۴). براساس بررسی‌های میدانی، ۱۳ مورد زمین لغزش بزرگ و اصلی در سطح حوضه شناسایی شد. با توجه به مبانی نظری تحقیق و از آنجا که در موقع این پدیده متغیرهای زیادی نقش دارند، برای سهولت تحلیل و محدود نمودن عرصه مقاله، از بین متغیرهای مؤثر بیشتر به تحلیل عامل سنگ شناسی به عنوان مهمترین عامل (با توجه به وزن‌های نهایی بدست آمده از مدل LIM و ضریب زاویه متغیرهای مدل نهایی رگرسیون لجستیک حوضه)، برداخته می‌شود. با این وجود تأثیر سایر متغیرها نادیده گرفته نشده و در قالب عوامل اصلی در مدل ارائه و عمل پهنه بندی با توجه به نقش آنها نیز انجام شده است.

از نظر ویژگی‌های رسوبی – ساختاری محدوده مورد مطالعه جزء زون کپه داغ می‌باشد. دراین زون در مجموع ۱۵ سازنده قابل تشخیص و از قدیم به جدید عبارتند از: سازندهای کشف رود، چمن بید و مزدوران (در این تحقیق  $JK_{mz}$ ) با سنی معادل ژوراسیک که از ماسه سنگ، شیل، سنگ آهک، دولومیت و مارن تشکیل شده‌اند. سازندهای شوریجه ( $K_{sh}$ ، سرچشممه ( $K_{sr}$ ، سنگانه ( $K_{sn}$ ، آتمیر، آب دراز ( $K_{ab}$ ، آب تلخ، نیزار و کلات با سنی معادل کرتاسه از سنگ‌های کربناته، مارن و رسوبات

جدول ۱- وزن لایه عاملی سنگ شناسی در حوضه چهاران با استفاده از مدل LIM<sup>۲</sup>

ردیف	واحد سنگ شناسی دچار لغزش	واحد سنگ شناسی دچار لغزش	فراوانی <sup>*</sup> کل لغزش در حوضه	فراوانی کل لغزش در حوضه	فراوانی کل لغزش در حوضه	تراکم لغزش در کل حوضه	فراوانی کل لغزش در حوضه	تراکم لغزش در طبقه	وزن نهایی طبقه
۱	$K_{sn}$	$K_{sh}$	۳۱۲۴۷۰	۹۶۴	۹۶۴	۰/۰۰۳۱	۷۴۶۸	۱۱	۰/۰۰۱۴
۲	$K_{sh}$	$K_{sr}$	۳۱۲۴۷۰	۹۶۴	۹۶۴	۰/۰۰۳۱	۳۸۰۳۸	۹۰۲	۰/۰۲۳۷
۳	$K_{sr}$	$K_{sn}$	۳۱۲۴۷۰	۹۶۴	۹۶۴	۰/۰۰۳۱	۲۳۳۸۰	۵۱	۰/۰۰۲۲

\* منظور از فراوانی، تعداد پیکسل‌ها می‌باشد که ابعاد هر یک  $30 \times 30$  متر می‌باشد.

تبخیری در این ناحیه سبب تجمع زیاد آب در سطح بین مواد هوازده و سنگ مادر شده و در نتیجه باعث لغزنده شدن و کاهش نیروی اصطکاک می‌شود. وجود این لایه‌های غیر قابل نفوذ، موجب کاهش مقاومت برشی مواد و تشدید حرکت توده‌ای مواد تحت تأثیر نیروی ثقل روی سطح شیب دار به طرف پایین دامنه می‌شود (آدابی و موسوی حرمسی، ۱۳۷۷).

سیمان ماسه سنگ‌ها بیشتر کربناته (کلسیت و مقدار ناچیزی دولومیت) و تا حدی سیلیسی است. نفوذ آبهای ناشی از آبیاری باغات و بارندگی از داخل درز و شکاف‌های متعدد در ماسه

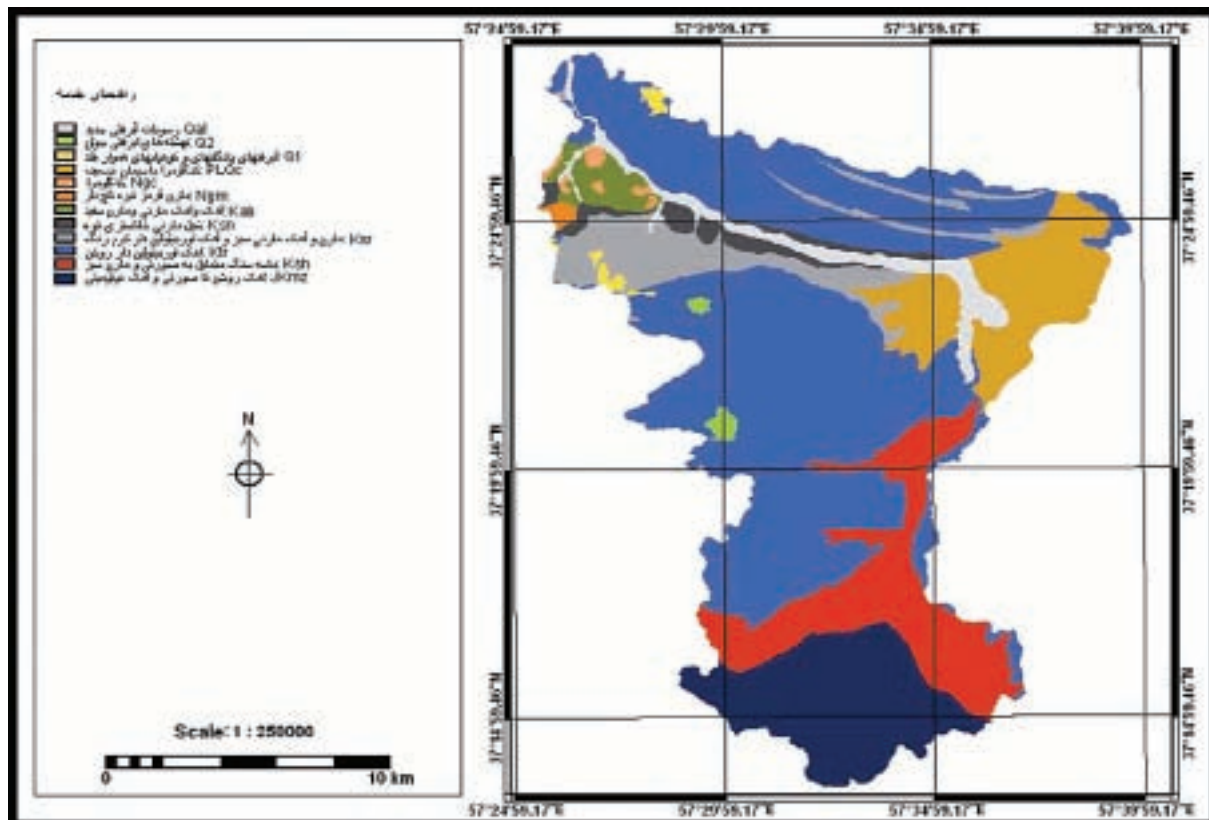
سازنده شوریجه ( $K_{sh}$ ) از سه بخش زیرین، میانی و بالایی تشکیل شده است. بخش زیرین عمده‌تر از رخساره‌های دانه ریز شیلی قرمز رنگ و لایه‌های نازک ماسه سنگی دانه‌ریز است. به علاوه لایه‌های محدودی از گچ بطوط پراکنده و نیز سنگ آهک دانه ریز رس دار در این بخش مشاهده می‌شود. بخش میانی عمده‌تر از ماسه سنگ ریگ دار و مقدار کمی کنگلومرا همراه با لایه‌هایی از شیل سیلتی است. بخش بالایی این سازنده مشابه بخش زیرین است با این تفاوت که، میزان لایه‌های ماسه سنگی در آن بیشتر است. وجود لایه‌های رسی، مارنی و

### 1. Pebble

۲ - در کلیه جدول‌های این مقاله، وزن بوده‌اند و از ارایه طبقات بدون وزن به دلیل محدودیت در عرصه تحقیق خودداری شده است.

هوازده کمک می‌کند. بنابراین شکست ماسه سنگ‌های توده‌ای بر اثر انحلال و نیز تجمع آب در سطح لایه‌های غیرقابل نفوذ سنگی، حاکی از نقش اصلی سنگ شناسی در ایجاد لغوش‌های این حوضه است (شکل ۳).

سنگ‌ها و کنگلومراها، باعث انحلال سیمان کربناته و ایجاد تخلخل ثانوی<sup>۱</sup> در آنها می‌شود. فرایند انحلال باعث کاهش مقاومت برشی این سنگ‌ها در مقابل افزایش بار تحمیلی شده و به شکست سنگ‌ها و لغزش مواد



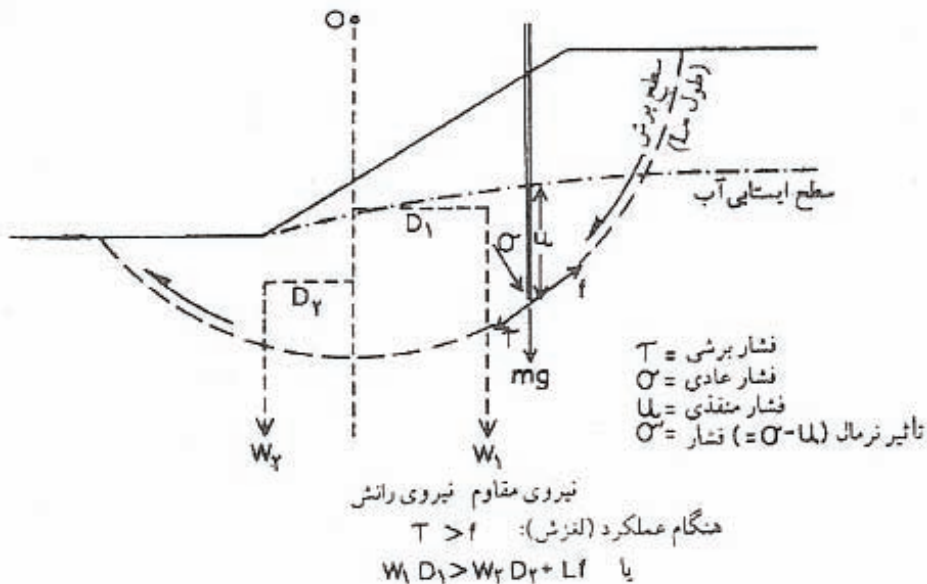
### شکا - ۳ - نقشه سنگ شناسی حوضه هکشی، چنان ان

در این رابطه،  $W_1$  وزن بخشی از مواد هوازده مسبب شکستگی،  $W_2$  وزن مواد هوازده که در مقابل حرکت مقاومت می کند،  $D_1$  و  $D_2$  به ترتیب فواصل مراکز توده لغزشی از خط پیوستگی،  $L$  عبارت از طول سطحی است که لغزش در آن صورت گرفته و  $F$  نیروی مقاومت برشی مواد هوازده است. بطوريکه از این رابطه استنباط می شود، در این حوضه نیروی محرک عمدتاً به ضخامت مواد هوازده بستگی دارد که در ارتباط با ضخامت سنگ یعنی پکی از عوامل اصلی در زمین لغزش می پایشد.

زمین لغزش‌هایِ حوضه به دو شکل فروافتادگی و جریانی‌اند.  
فروافتادگی‌ها معمولاً در امتداد سطح لغزش داخلی رخ داده اند  
و در سطح به شکل شکستگی‌های متعدد مرکز و مقعر در جهت  
شیب اصلی ظاهر شده‌اند. این حرکات الزاماً چرخشی‌اند<sup>۲</sup> و از  
این رو بخش فوقانی برخی از بلوك‌های فروافتاده شیب معکوس  
پیدا می‌کند. نیروهای لازم که در تعادل فروافتادگی نقش دارند  
د. شکلاً حجم، و این طه زد ارائه شده‌اند.

$$\text{نیروی مقاوم} = \text{نیروی واردہ بر سطح لغزش} \\ \Rightarrow W_1 \times D_1 = W_2 \times D_2 + E \quad (\text{رابطہ چھار})$$

- 1. Secondary porosity
  2. Rotational



شکل ۴ - فشارهای موجود در یک لغزش چرخشی

و شیب توپوگرافی، شیب زیاد، ماندگاری برف که سبب افزایش بار و تکرار یخ‌بندان و ذوب یخ در ارتفاعات می‌گردد، وجود لایه‌های آبدار در محل لغزش‌ها و تنش‌های انتقالی ناشی از زمین لرزه باعث افزایش تنش برشی و بالطبع لغزش‌هایی می‌شود که در حوضه نیز مشاهده می‌شود. حال آنکه جنس سنگ و ضخامت آن (وزن مواد مستعد لغزش) مقاومت از خود نشان می‌دهند. به همین دلیل است که عامل سنجشناصی به عنوان مهمترین عامل در لغزش‌های این حوضه معروفی می‌شود.

به علاوه هر عاملی که باعث کاهش نیروی مقاومت برشی و افزایش تنش برشی گردد، لغزش مواد هوازده را تسهیل می‌کند. به عنوان مثال شستشوی پاشنده دامنه‌ها توسط رودخانه چنان‌و سرشاخه‌های آن، افزایش وزن دامنه به واسطه وجود درختان تنمند در باغات، اثر ریشه آنها در تخریب مکانیکی و هوازدگی شیمیایی خاک و انتقال نیروی باد به وسیله تنه و ریشه آنها به مواد دامنه، آب‌های نفوذی جوی و آبیاری که سبب شستشوی مواد دانه‌ای با فرسایش درزآبی می‌شود، جهت یکسان شیب ساختمانی

جدول ۲ - وزن لایه فاصله از چشممه‌های دائمی و آب‌های زیرزمینی در حوضه چنان‌و با استفاده از مدل LIM

ردیف	فاصله دچار لغزش (متر)	فراوانی کل حوضه	فراوانی کل لغزش در حوضه	تراکم لغزش در کل حوضه	فراوانی کل طبقه	فراوانی در لغزش در طبقه	تراکم لغزش در طبقه	وزن نهایی طبقه
۱	۰-۱۰۰	۳۱۲۴۷۰	۹۶۴	۰/۰۰۳۱	۱۷۷۶	۵۰	۰/۰۲۸۲	۲/۲۰۷۹
۲	۱۰۰-۲۰۰	۳۱۲۴۷۰	۹۶۴	۰/۰۰۳۱	۴۶۲۸	۸۳	۰/۰۱۷۹	۱/۷۵۳۴
۳	۲۰۰-۳۰۰	۳۱۲۴۷۰	۹۶۴	۰/۰۰۳۱	۷۱۱۰	۹۶	۰/۰۱۳۵	۱/۴۷۱۳
۴	۳۰۰-۴۰۰	۳۱۲۴۷۰	۹۶۴	۰/۰۰۳۱	۹۳۶۵	۱۳۸	۰/۰۱۴۷	۱/۵۵۶۴
۵	۴۰۰-۵۰۰	۳۱۲۴۷۰	۹۶۴	۰/۰۰۳۱	۱۱۳۱۹	۱۷۳	۰/۰۱۵۳	۱/۵۹۶۵

۱ - وجود درختان و ریشه آنها به دلیل ارتباط برقرار نمودن بین لایه‌های لغزندۀ سطحی و لایه‌های مقاوم زیرین، به عنوان یک پارامتر مشتّت در پایداری شیب‌ها عمل می‌کند. ولی بررسی‌های میدانی نگارنده نشان می‌دهد که در این حوضه این پارامتر به صورت منفی عمل نموده، زیرا به دلیل ضخامت توده مواد دامنه‌ای دارای پتانسیل لغزش زیاد، ریشه درختان نتوانسته به لایه‌های مقاوم و ثابت زیرین برسد، بدین جهت وجود درختان و وزن آنها به عنوان یک پارامتر منفی در پایداری شیب حوضه محسوب می‌شود.

جدول ۳- وزن لایه عاملی واحدهای ارتقایی به متر در حوضه چناران با استفاده از مدل LIM

ردیف	واحد ارتقایی دچار لغزش	فرآوانی کل حوضه	فرآوانی کل لغزش در حوضه	تراکم لغزش در کل حوضه	فرآوانی کل طبقه	لغزش در طبقه	تراکم لغزش در طبقه	وزن نهایی طبقه
۱	۱۲۲۰-۱۴۴۰	۳۱۲۴۷۰	۹۶۴	۰/۰۰۳۱	۹۱۰۹۷	۶۹	۰/۰۰۷۶	-۱/۴۸۸۱
۲	۱۴۴۰-۱۵۷۰	۳۱۲۴۷۰	۹۶۴	۰/۰۰۳۱	۲۹۴۱۱	۵۲	۰/۰۰۱۷۷	-۰/۵۴۳۶
۳	۱۵۷۰-۱۷۱۰	۳۱۲۴۷۰	۹۶۴	۰/۰۰۳۱	۲۹۷۶۱	۵۴۳	۰/۰۱۸۲۵	۱/۷۵۳۴
۴	۱۷۱۰-۱۸۹۵	۳۱۲۴۷۰	۹۶۴	۰/۰۰۳۱	۲۸۳۱۹	۱۶۲	۰/۰۰۵۷۲۰	۱/۱۸۱۱
۵	۱۸۹۵-۲۰۲۵	۳۱۲۴۷۰	۹۶۴	۰/۰۰۳۱	۳۱۸۰۲	۲	۰/۰۰۰۰۶	-۱/۱۳۱۴

جدول ۴- وزن لایه عاملی شیب به درجه در حوضه چناران با استفاده از مدل LIM

ردیف	واحد شیب دچار لغزش	فرآوانی کل حوضه	فرآوانی کل لغزش در حوضه	تراکم لغزش در کل حوضه	فرآوانی کل طبقه	لغزش در طبقه	تراکم لغزش در طبقه	وزن نهایی طبقه
۱	۰-۱۵	۳۱۲۴۷۰	۹۶۴	۰/۰۰۳۱	۲۱۳۸۴۵	۳۶۹	۰/۰۰۱۷	-۰/۶۰۰۸
۲	۱۵-۱۹	۳۱۲۴۷۰	۹۶۴	۰/۰۰۳۱	۲۶۵۸۳	۱۱۷	۰/۰۰۴۴	۰/۳۵۰۲
۳	۱۹-۲۶	۳۱۲۴۷۰	۹۶۴	۰/۰۰۳۱	۳۲۱۸۶	۱۵۷	۰/۰۰۴۹	۰/۴۵۷۸
۴	۲۶-۳۸	۳۱۲۴۷۰	۹۶۴	۰/۰۰۳۱	۲۷۷۶۷	۲۲۰	۰/۰۰۷۹	۰/۹۳۵۵
۵	۳۸-۷۸/۷	۳۱۲۴۷۰	۹۶۴	۰/۰۰۳۱	۶۰۳۰	۱۰۱	۰/۰۱۶۷	۱/۶۸۴۰

جدول ۵- وزن لایه عاملی نوع پوشش- کاربری اراضی در حوضه چناران با استفاده از مدل LIM

ردیف	نوع کاربری اراضی دچار لغزش	فرآوانی کل حوضه	فرآوانی کل لغزش در حوضه	تراکم لغزش در کل حوضه	فرآوانی کل طبقه	لغزش در طبقه	تراکم لغزش در طبقه	وزن نهایی طبقه
۱	مراتع	۳۱۲۴۷۰	۹۶۴	۰/۰۰۳۱	۶۹۵۷۳	۱۶۰	۰/۰۰۲۳	-۰/۲۹۸۵
۲	سطح سنگی و عریان	۳۱۲۴۷۰	۹۶۴	۰/۰۰۳۱	۱۵۶۰۶۲	۳۰۶	۰/۰۰۲	-۰/۴۳۸۳
۳	اراضی دیم	۳۱۲۴۷۰	۹۶۴	۰/۰۰۳۱	۶۴۲۲۶	۴۵	۰/۰۰۰۷	-۱/۴۸۸۱
۴	باغات و اراضی آبی	۳۱۲۴۷۰	۹۶۴	۰/۰۰۳۱	۱۶۴۵۲	۴۵۳	۰/۰۲۷۵	۲/۰۲۲۸

جدول ۶- وزن لایه عاملی شاخص تراکم پوشش گیاهی (NDVI) در حوضه چناران با استفاده از مدل LIM

ردیف	نوع پوشش گیاهی دچار لغزش	فرآوانی کل حوضه	فرآوانی کل لغزش در حوضه	تراکم لغزش در کل حوضه	فرآوانی کل طبقه	فرآوانی لغزش در طبقه	تراکم لغزش در طبقه	وزن نهایی طبقه
۱	پوشش گیاهی متوسط	۳۱۲۴۷۰	۹۶۴	۰/۰۰۳۱	۲۱۵۰۳۴	۳۸۳	۰/۰۰۱۸	-۰/۵۴۳۶
۲	پوشش گیاهی نسبتاً غنى	۳۱۲۴۷۰	۹۶۴	۰/۰۰۳۱	۵۹۳۶۵	۱۳۸	۰/۰۰۲۳	-۰/۲۹۸۵
۳	پوشش گیاهی غنى	۳۱۲۴۷۰	۹۶۴	۰/۰۰۳۱	۲۳۲۷۹	۴۴۳	۰/۰۱۹	۱/۸۱۳۰

جدول ۷- وزن لایه عاملی فاصله از رودخانه به متر در حوضه چناران با استفاده از مدل LIM

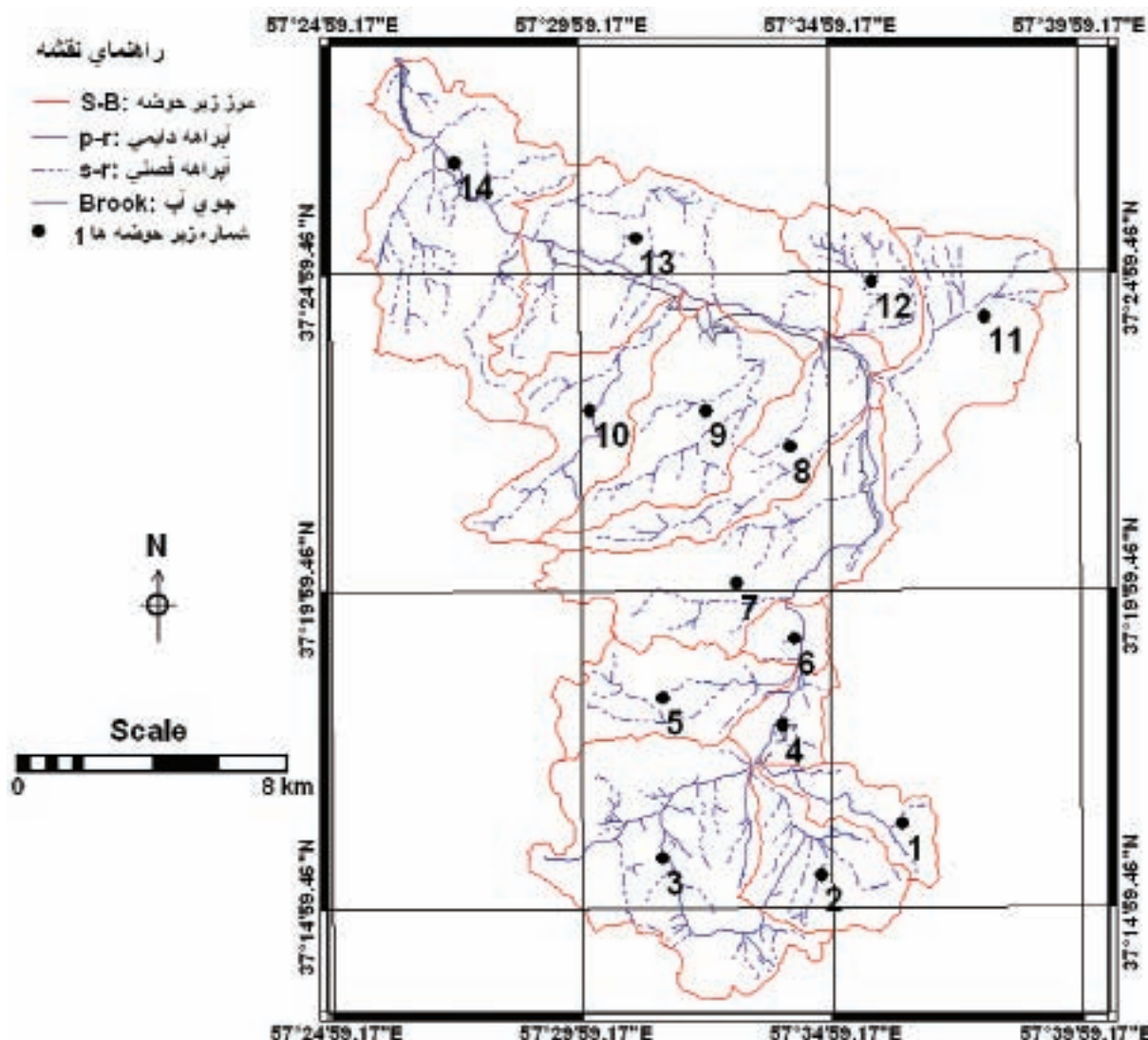
ردیف	فاصله از دچار لغزش رودخانه	فرآوانی کل حوضه	فرآوانی کل لغزش در حوضه	تراکم لغزش در کل حوضه	فرآوانی کل طبقه	فرآوانی لغزش در طبقه	تراکم لغزش در طبقه	وزن نهایی طبقه
۱	۰-۳۰۰	۳۱۲۴۷۰	۹۶۴	۰/۰۰۳۱	۱۹۲۰۳	۹۲۱	۰/۰۰۴۸	۰/۴۳۷۲
۲	۳۰۰-۶۰۰	۳۱۲۴۷۰	۹۶۴	۰/۰۰۳۱	۷۹۴۲۰	۴۳	۰/۰۰۰۵	-۱/۸۲۴۵

جدول ۸- وزن لایه عاملی فاصله از گسلها به متر در حوضه چناران با استفاده از مدل LIM

ردیف	فاصله از گسل دچار لغزش	فرآوانی کل حوضه	فرآوانی کل لغزش در حوضه	تراکم لغزش در کل حوضه	فرآوانی کل طبقه	فرآوانی لغزش در طبقه	تراکم لغزش در طبقه	وزن نهایی طبقه
۱	۵۰۰-۱۰۰۰	۳۱۲۴۷۰	۹۶۴	۰/۰۰۳۱	۸۰۹۶۶	۳۱۲	۰/۰۰۳۹	۰/۲۲۹۶
۲	۱۰۰۰-۱۵۰۰	۳۱۲۴۷۰	۹۶۴	۰/۰۰۳۱	۵۰۰۱۷	۱۸۶	۰/۰۰۳۷	۰/۱۷۶۹

جدول ۹- رتبه بندی زیرحوضه های حوضه چناران نسبت به خطر پذیری در برابر لغزش بر حسب تراکم وزنی در هکتار

زیرحوضه ها	۱	۲	۳	۴	۵	۶	۷	۸	۹	۱۰	۱۱	۱۲	۱۳	۱۴
مساحت (هکتار)	۷۹۱	۱۴۰۵	۳۸۱۲	۵۸۰	۱۵۶۹	۴۰۵	۳۰۰۷	۱۷۸۵	۲۰۹۶	۱۷۲۷	۱۱۳۹	۲۲۳۶۵	۳۷۷۲	۳۷۷۲۱
تراکم وزنی	۰/۰۲	۲/۷	-۸/۶	۴۱/۳	-۱۱/۵	۲۰/۸	-۱۵/۴	-۱۸/۸	-۲۳/۳	-۴/۰	-۱۹/۹	-۱۳/۸	-۳۲/۶	-۴۲/۱
رتبه	۴	۳	۲	۱	۶	۱	۷	۲	۹	۱۰	۱۲	۱۳	۱۴	۱۴



شکل ۵- تقسیم بندی زیر حوضه های حوضه زهکشی چناران

جدول ۱۰- توصیف متغیرهای موهومنی ساخته شده در نرم افزار spss که وارد مدل نهایی رگرسیون لجستیک شده‌اند

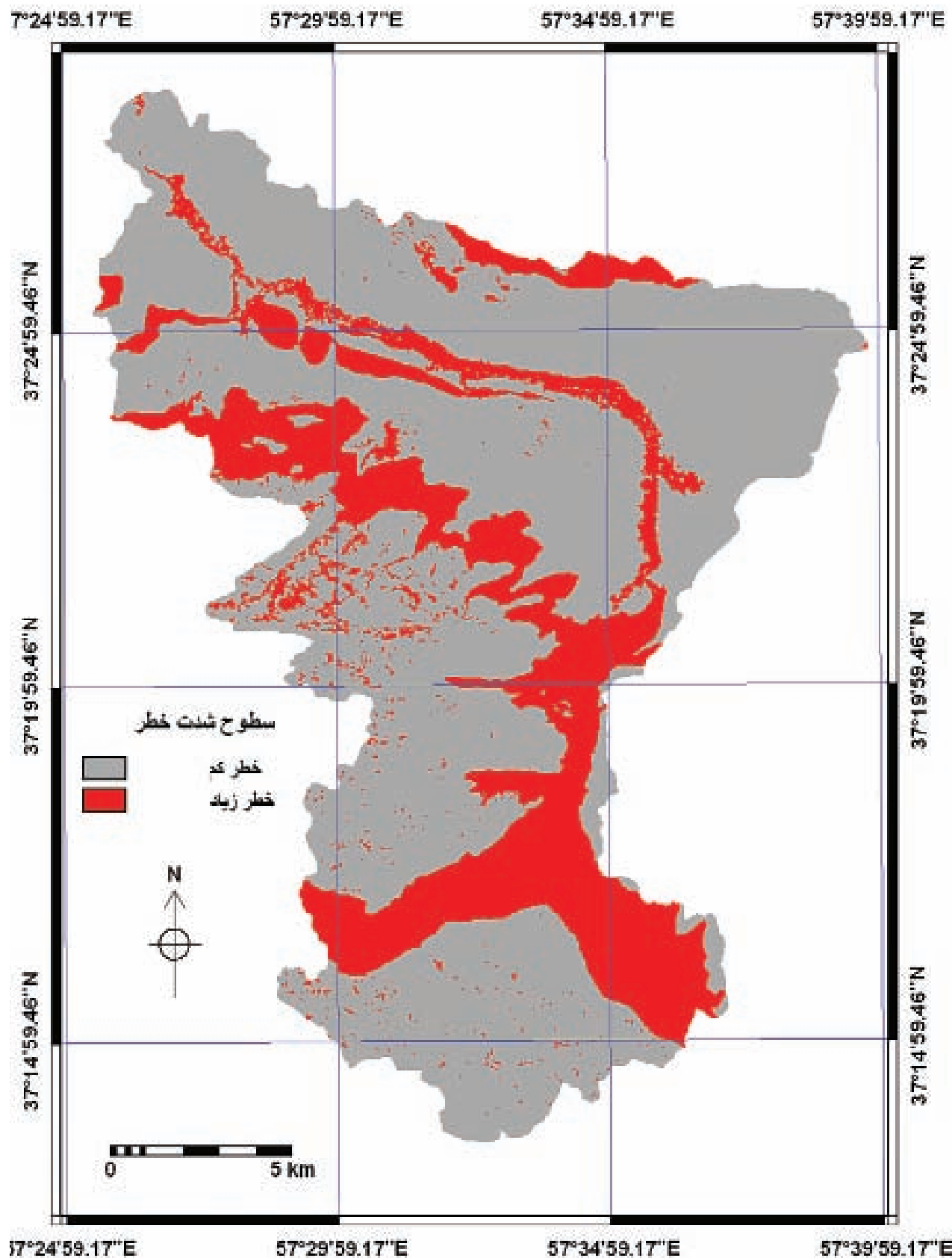
گروه بندی متغیرهای مستقل	متغیرهای موهومنی	توصیف متغیرهای موهومنی
زمین شناسی	Ksh	مسه سنگ همراه با مارن، کنگلومرا شیل های سیلیسی، رسی و ژیپس
هیدرولوژی	Sd100	فاصله صفر تا ۱۰۰ متری از چشمه ها و آب های زیرزمینی
توبوگرافی	H1715	طیف ارتفاعی ۱۵۷۰ تا ۱۷۱۵ متری از سطح دریا
کاربری اراضی	irfarm	ارضی دارای کاربری باغی و کشت آبی

جدول ۱۱ - گروه بندی متغیرها، معادلات برآورد خطر نسبی و نتایج حاصل از مدل سازی برای پیش‌بینی احتمال وقوع حرکات توده ای

گروه بندی متغیرهای مستقل	تعداد متغیرهای داده شده به مدل	معادله رگرسیون لجستیک برآورد خطر نسبی	درصد نتایج رده بندی صحیح مشاهدات به رده های یک(وقوع) و صفر (عدم وقوع) بر اساس مدل	مجموع رده یک	رده صفر	مجموع
زمین شناسی	۵	۰.۱۵۴+۰.۷۹Ksh		۷۶/۹	۶۳/۶	۷۰/۲۵
هیدرولوژی	۷	-1.2+(-0.13)sd100+(-0.5)sd200		۱۰۰	۸۷/۲	۹۰/۴
توپوگرافی	۱۰	0.066+0.30h1715+(-0.71)s178.7		۹۲/۳	۹۲/۳	۹۲/۳
کاربری اراضی	۷	-0.613+(-0.24)irfarm+4.4ndhi		۶۹/۲	۸۷/۲	۸۲/۷
کلیه عوامل و متغیرهای مستقل	۷	0.019+0.82Ksh+(-0.8)sd100+(-0.2)irfarm+0.38h1715		۸۴/۶	۸۳/۳	۸۳/۹

جدول ۱۲ - نتایج ارزیابی ماتریس خطأ در روش پهنه بندی بر اساس مدل سازی رگرسیون لجستیک برای حرکات توده ای حوضه

خطای C (کمیشن) %	مجموع دو حالت	اطلاعات حاصل از برداشت میدانی		حالات
		صفر(عدم وقوع)	یک(وقوع)	
۹۹/۶	۲۰۷۹۶۹	۲۰۷۱۳۵	۸۳۴	یک (وقوع)
۰/۱۸	۱۲۵۷۳۶	۱۲۵۵۱۲	۲۲۴	صفر (عدم وقوع) پیش بینی
-	۳۳۳۷۰۵	۳۳۲۶۴۷	۱۰۵۸	مجموع دو حالت
۶۰/۴	-	۶۲/۳	۲۱/۲	خطای O(امیشن)%



شکل ۶- پهنۀ بندی خطر وقوع حرکات تووده ای در حوضه زهکشی چنان‌ران بر اساس مدل رگرسیون لجستیک

## نتیجه گیری

نتایج حاصل از بررسی‌ها، انجام کارهای میدانی و تحلیل با مدل‌های LIM و رگرسیون لجستیک نشان داد که در بین عوامل مختلف عامل سنگ‌شناسی یعنی سازند شوریجه (Ksh)، به دلیل ویژگی‌های ذاتی نظری وجود لایه‌های غیر قابل نفوذرسی، مارنی و تبخیری و تاثیر در کاهش مقاومت برخشی مواد دامنه‌ها، نقش اصلی را در وقوع حرکات توده‌ای حوضه ایفا نموده است. سپس با توجه به وزن‌های نهایی بدست آمده از مدل LIM و ضریب زاویه متغیرهای مدل نهایی رگرسیون لجستیک حوضه، متغیرهای آب‌های زیرزمینی با فاصله صفر تا ۱۰۰ متری از مظهر آنها، باغات و اراضی آبی و طیف ارتفاعی ۱۵۷۰ تا ۱۷۱۵ متر با مساعدت شبیب و زیربری توسط رودخانه چنان و سرشاخه‌های آن به دلیل افزایش در تنفس برخشی دامنه‌ها، بیشترین تأثیر را در وقوع این حرکات داشته‌اند. جهت کاهش نسبی خطرات و افزایش میزان پایداری دامنه‌ها، هرگونه تغییری در اکوسیستم موجود حوضه، کاربری اراضی و احداث سازه‌ها باید با لحاظ کردن شرایط زمین شناسی و زئومورفولوژی حوضه انجام گیرد.

مدل LIM به دلیل گرفتن لگاریتم طبیعی (Ln) نسبت تراکم لغزش در طبقه با تراکم لغزش در کل حوضه که نوعی «تغییر متغیر» می‌باشد، تمام عوامل را در وزن دهی لحاظ می‌کند.

در ارتباط با «روش مدل‌سازی» نتایج نشان می‌دهد که، مدل رگرسیون لجستیک روشن مناسب است. زیرا اولاً این مدل مانند ماهیت داده‌های حرکت توده‌ای که به شکل دو حالته یک (معادل وقوع) و صفر (معادل عدم وقوع) هستند، برای متغیر واپسیه نیز از داده‌های دو حالته صفر و یک استفاده می‌کند که انجام پهنه بندی احتمال وقوع حرکات توده‌ای را با توجه به رقم معیار ۰/۵ تسهیل می‌سازد. ارزیابی ماتریس خطای برای نقشه پهنه بندی احتمال خطر وقوع حرکات توده‌ای و نقشه پراکنش زمین لغزش‌های موجود حوضه نشان می‌دهد که، مقدار خطای پیش‌بینی امیشان در این روش برای حالت یک (وقوع) حدود ۷/۷ درصد بوده است. به عبارت بهتر از کل واحدهای دارای حرکت توده‌ای این حوضه در شرایط فعلی، این روش پهنه بندی توансه ۹۲/۳ درصد واحدهای دارای حرکت توده‌ای را به درستی در کلاس خطر زیاد (وقوع) طبقه‌بندی کند که بیانگر دقت بالای این مدل در شناخت عوامل، مدل سازی و پهنه بندی است.

با توجه به نقشه پهنه بندی احتمال خطر وقوع حرکات توده‌ای، مناطق با احتمال خطر وقوع زیاد و کم شناسایی شدند که حدود ۷۸۶۰/۲ هکتار معادل ۲۷/۹ درصد از سطح حوضه، در رده با خطر زیاد (آستانه با احتمال صفر تا ۰/۵) و حدود ۲۰۳۱۶/۵ هکتار معادل ۷۲/۱ درصد، در رده با خطر کم (آستانه با احتمال ۰/۵ تا ۱) قرار می‌گیرد.

## منابع

- آدابی، م.ح. و موسوی حرمی، س.ر.، ۱۳۷۷. «نقش لیتوژوژی سنگ‌شناسی) در رانش زمین در شمال شرق ایران»، فصلنامه تحقیقات جغرافیایی، مقاله شماره ۴۴۴، ۷۵-۸۹.
- افشار حرب، ع.، ۱۳۷۳. گزارش زمین‌شناسی که داغ زیر نظر عبدالرحیم هوشمندانزاده، سازمان زمین‌شناسی و اکتشافات معدنی کشور، چاپ اول، تهران، ۶۰.
- بلورچی، م.ح. و محمود مهر پرتو، م.، ۱۳۶۵. نقشه زمین‌شناسی چهارگوش بجنورد (۱:۲۵۰۰۰۰)، سازمان زمین‌شناسی و اکتشافات زمین‌شناسی کشور، یک ورقه.
- ریچارد جی، ج.، شوم اس.ای. و سودن، دی.ای.، ۱۹۸۵. رئومورفولوژی (جلد سوم)، ترجمه احمد معتمد و ابراهیم مقیمی، ۱۳۷۹، انتشارات سمت.
- سازمان جنگل‌ها، مراتع و آبخیزهای کشور، گروه بررسی زمین‌لغزش‌ها، ۱۳۸۴. گزارش بانک اطلاعاتی زمین‌لغزش‌های کشور.
- سازمان فضایی ایران، تصاویر ماهواره‌ای باندهای مختلف سنجنده ETM<sup>+</sup> ماهواره لندست مربوط به ماه مه ۲۰۰۳ میلادی.
- جعفریان، م.ب. و طاهری، ج.، ۱۳۸۴. نقشه زمین‌شناسی چهارگوش بجنورد (۱:۱۰۰۰۰۰)، سازمان زمین‌شناسی و اکتشافات زمین‌شناسی کشور، یک ورقه.
- عالی‌ی طالقانی، م.، ۱۳۸۴. رئومورفولوژی ایران، نشر قومس، چاپ سوم، ۱۹۴.
- غفوری، م. و عاشوری، ع.، ۱۳۷۷. «زمین‌لغزش به عنوان یکی از بلایای طبیعی در شمال خراسان»، فصلنامه تحقیقات جغرافیایی، مقاله شماره ۴۴۵، ۹۰-۱۰۱.
- طالبی دولق، ر. و غیومیان، ج.، ۱۳۸۰. «شناخت و بررسی عوامل موثر در لغزش خیزی جنوب غرب خلخال»، مجموعه مقالات دومین کنفرانس زمین‌شناسی مهندسی و محیط زیست ایران، دانشگاه تربیت مدرس.
- عبدالامیر، ک.، ۱۳۸۰. «مدل سازی کمی و پهنه بندی خطر زمین‌لغزش در زاگرس چین خورده»، رساله دکترای جغرافیای طبیعی با گرایش زئومورفولوژی، دانشکده علوم انسانی دانشگاه تربیت مدرس، ۲۵۰.
- کوک، آر.یو. و دورکمپ، جی.سی.، ۱۹۹۰. رئومورفولوژی و مدیریت محیط (جلد اول)، ترجمه شاپور گودرزی نژاد، ۱۳۷۷، انتشارات سمت.
- مسگری وش، ع.، فلاح ح. و کریمی نسب، س.، ۱۳۸۰. بررسی نقش عوامل موثر در وقوع زمین‌لغزش محمود آباد مسکون، مجموعه مقالات دومین کنفرانس زمین‌شناسی مهندسی و محیط زیست ایران، دانشگاه تربیت مدرس.
- مهدویفر، م.ر. و جعفری، م.ک.، ۱۳۸۰. مطالعه آماری عوامل و پهنه بندی خطر زمین‌لغزش استان لرستان، مجموعه مقالات دومین کنفرانس زمین‌شناسی مهندسی و محیط زیست ایران، دانشگاه تربیت مدرس.

- L. E. Espizua, J. D. Bengochea, 2002. Landslide Hazard and Risk Zonation Mapping in the Rio Grande Basin, Central Andes of Mendoza, Argentina, Mountain Research and Development. 22( 2):177-185.
- Van Westen, C. J., 1995. Statistical landslide hazard analysis. ITC- Publication Number11, ITC, Enschede, The Netherlands, P 74.
- Varnes, D. J., 1984. Landslide Hazard Zonation: A review of principles and practice (UNESCO, Paris) P 26.
- ندیم، ه. و هفت لنگ، ر.، ۱۳۸۳. نقشه زمین شناسی چهارگوش شیروان (۱:۱۰۰۰۰)، سازمان زمین شناسی و اکتشافات زمین شناسی کشور، یک ورقه.
- بریس، ان. و کمپ، آر.، تحلیل داده های روانشناسی با برنامه های SPSS، ترجمه خدیجه علی آبادی و علی صمدی، ۱۳۸۴، نشر دوران.
- Anbalagan, 1992. Landslide hazard evaluation and zonation mapping in mountainous terrain, Engineering Geology, 32:269-277.

Archive of SID